

8 维爱因斯坦-杨-密尔斯 理论的量子宇宙

苏 秉 李新洲

(华东理论物理所, 上海 200237)

摘 要

本文研究了一个 8 维 Einstein-Yang-Mills 量子宇宙。关于宇宙边界条件的 Hartle-Hawking 假设也被扩充到具有物质场的 8 维理论。本文得到了一类具有 inflation 特性的超微空间波函数。

一、引 言

近几年来, 具有物质场的 Kaluza-Klein 宇宙学引起了人们广泛的兴趣^[1-3]。对于 $d = 6$, Einstein-规范理论的稳定性已有了完整的结果^[4]。Frampton 和 Yamamoto^[5] 研究了在任意偶数维下规范和引力手征反常自由的 $SU(N)$ 可能的费米子表示, 并给出了 $SU(N)$ 完全反对称张量情形下所有可能的表示。在这一研究的基础上, 我们讨论了单个瞬子诱导的八维自发紧致化的经典宇宙学模型^[6]。在 4 维情形下, 这一模型可约化到 Georgi 的三代 $SU(11)$ 模型^[7]。在我们的模型中, 宇宙在“标准大爆炸”前, 先经历“首次大爆炸”和“inflation”阶段^[1,6]。

众所周知, 宇宙学需要研究时空的整体性质。当我们考虑到宇宙的初态时, 就会出现无限大曲率和密度的奇性态。解决这一问题的方案之一是 Hartle 和 Hawking 所提出来的^[8], 他们发展了旧量子宇宙论^[9]。新理论有两个主要的特性, 首先是新理论使用了路径积分形式, 其次是对度规及其物质场相选取了某种边界条件。Hartle 和 Hawking 提出了目前最流行的所谓“无边界”的边界条件, 这可以由在所有闭曲面上的路径积分形式给出。在经典宇宙的奇性处, 量子宇宙的波函数可以有好的定义。在各种特殊模型, 包括高维模型中寻找具有 inflation 特性的波函数是令人感兴趣的。

为此, 首先应当将 Hartle-Hawking 假设扩充到高维理论。吴忠超首先考虑了在纯引力的 Kaluza-Klein 理论中的扩充^[10], Halliwell 考虑了在 6 维的 Einstein-Maxwell 理论和 6 维超引力中的扩充^[11], 我们也研究了在 10 维 Kalb-Ramond 理论中的扩充^[12]。在本文中, 我们将研究一个 8 维的量子宇宙模型, 这一模型将具有二类动力场: 引力子 g_{MN} 和杨-Mills 场 $F_{\mu\nu}^a$ 。对于宇宙边界条件的 Hartle-Hawking 假设将扩充到 8 维 Ei-

nstein-杨-Mills 理论。我们计算了超微空间波函数, 其中一类波函数对应于宇宙的 inflation 特性, 即紧致的 4 维仍然保持小尺度, 而其余的维数迅速膨胀的宇宙波函数。inflation 行为可以消除宇宙学的视界问题、平坦性问题和磁单极问题, 所以这些波函数是令人感兴趣的。

二、Wheeler-DeWitt 方程

量子宇宙出发点之一是选择度规, 这一度规对应于我们所希望研究的特殊的经典宇宙。在本文中, 我们考虑如下线元,

$$\begin{aligned} g_{MN}dz^M dz^N &= l^2[-N^2(t)dt^2 + R_3^2(t)d\Omega_3^2 + R_4^2(t)d\Omega_4^2] \\ &\equiv -N^2(t)l^2 dt^2 + h_{IJ}dx^I dx^J \\ &\equiv -N^2(t)l^2 dt^2 + h_{ij}dx^i dx^j + h_{mn}dy^m dy^n, \end{aligned} \quad (2.1)$$

其中 N 是可以任意选择的延迟函数, 这对应时间坐标的选取, 指标分裂为 $z^M = (x^\mu, y^m)$; $M, N = 0, 1, \dots, 7$; $I, J = 1, \dots, 7$; $\mu, \nu = 0, \dots, 3$; $i, j = 1, 2, 3$; $m, n = 4, \dots, 7$. 长度因子 l 是由 8 维引力与宇宙常数表示的: $l^2 = G\Lambda^2/48\pi^3$. 可以看出 $l \sim m_p^{-1}$, 即 l 具有普朗克长度量级。

8 维的 Einstein-杨-Mills 作用量为

$$\begin{aligned} S &= \frac{1}{16\pi G} \int_M d^8z \sqrt{-^{(8)}g} (R - 2\Lambda) \\ &\quad + \frac{1}{8\pi G} \int_{\partial M} d^7z K h^{\frac{1}{2}} - \frac{1}{4} \int_M d^8z \sqrt{-^{(8)}g} F_{MN} F^{MN}, \end{aligned} \quad (2.2)$$

其中 R 是 Ricci 张量, $K = h^{IJ}K_{IJ}$ 而 K_{IJ} 是第二基本形式。

在 $SU(11)$ 的 4 维三代模型中, 费米子表示应当是

$$[4]_L^{(11)} - [3]_L^{(11)} - [2]_L^{(11)} - [1]_L^{(11)}. \quad (2.3)$$

上述表示是引力反常自由的^[7]. 它又可以被写作^[5]

$$[4]_L^{(11/3)} + 2[3]_L^{(11/5)} + 3[2]_L^{(11/7)}, \quad (2.4)$$

其中 $[m]_L^{(N/M)}$ 是 $SU(N/M)$ 的超杨盘。在 $d = 8$ 维时, 我们需要 $SU(13)$ 群的费米子表示^[5]:

$$[5]_L^{(13/3)} + 2[4]_L^{(13/5)} + 3[3]_L^{(13/7)}. \quad (2.5)$$

具有拓扑 $S^1 \times S^3 \times S^4$ 的真空解为

$$\langle A_a^\alpha \rangle = \frac{2}{e} \frac{\eta_{am} y^m}{b^2 + y^2}, \quad \langle A_\mu^\alpha \rangle = 0, \quad (2.6)$$

$$\langle A_M^\alpha \rangle = 0, \quad (\alpha \neq a, M \neq n)$$

这一真空解具有等于 1 的瞬子数。

为了讨论问题的方便起见, 我们选择新的变量 μ 和 ϕ

$$R_3 = e^a e^{-\sqrt{2}\phi}, \quad R_4 = \frac{3}{2\Lambda l^2} e^{\sqrt{2}\phi}. \quad (2.7)$$

由上述诸式, 我们得到约化的拉格朗日量为

$$L = \frac{1}{2} N e^{3\mu} e^{\sqrt{2}\phi} \left[\frac{e^{-2\sqrt{2}\phi}}{N^2} (-\dot{\mu}^2 + \dot{\phi}^2) + e^{-2\mu} - m^2 V(\phi) \right], \quad (2.8)$$

其中

$$V(\phi) = \varepsilon e^{-4\sqrt{2}\phi} - e^{-3\sqrt{2}\phi} + e^{-2\sqrt{2}\phi}, \quad (2.9)$$

ε 是无量纲参数, $\varepsilon = 32\pi^4 l^4 / g^2$.

在图 1 中, 我们画出了不同 ε 值的势。当 $\varepsilon < \frac{9}{32}$ 时, $V(\phi)$ 具有局部极小值; 当 $\varepsilon = \frac{1}{4}$ 时, $V(\phi)$ 在极小值取零值; 当 $\varepsilon = 0$ 时, $V(\phi)$ 只有一个整体的极大值而没有极小值, 这对应于瞬子不出现的情形。我们将选择 $\varepsilon = \frac{1}{4}$ 的模型, 这使得有效的 4 维宇宙常数为零。

体系的哈密顿量为

$$H = \frac{N}{2} e^{-3\mu} [-\pi_\mu^2 + \pi_\phi^2 + e^{-2\mu} - m^2 V(\phi)]. \quad (2.10)$$

由经典约束 $H = 0$, 经量子化后就得到了 Wheeler-DeWitt 方程^[9]. 当经过一个适当的算符次序选择后^[13], WDW 方程为

$$\left[\frac{\partial^2}{\partial \mu^2} - \frac{\partial^2}{\partial \phi^2} + U(\mu, \phi) \right] \Psi(\mu, \phi) = 0, \quad (2.11)$$

其中

$$U(\mu, \phi) = e^{6\mu} m^2 V(\phi) - e^{4\mu}. \quad (2.12)$$

这是在 2 维超微空间上的双曲型方程, 按照 Hartle 和 Hawking 的建议^[8], 对应于每个 N 的选择, 任何满足 WDW 方程的波函数 Ψ 描述了宇宙的一个可能的量子态. 为了选取特殊的态, 我们采用扩充的 Hartle-Hawking 假设, 即波函数定义为紧致 8 维度规和正则物质场上的路径积分

$$\Psi = \int_{\mathcal{C}} d[\mu] d[\phi] \exp(-\tilde{I}). \quad (2.13)$$

其中 \tilde{I} 是欧几里得作用量. \tilde{I} 通过选择 N 为负虚数, 而从洛伦兹型作用量 I 中得到, $\tilde{I} = -iI$. 上述路径积分是对超微空间中用欧氏时间 $\tau = iNt$ 描写的路径来积分的.

从 8 维紧致度规的要求, 可导出 $\tau = 0$ 时的 a 、 b 的初始条件. 对于欧氏度规

$$ds^2 = d\tau^2 + R_3^2(\tau) d\Omega_3^2 + R_4^2(\tau) d\Omega_4^2, \quad (2.14)$$

我们应由在 $\tau = 0$ 时的初始条件:

$$\begin{aligned} R_3 &= 0, \quad dR_3/d\tau = 1, \\ R_4 &= \text{正常数}, \quad dR_4/d\tau = 0. \end{aligned} \quad (2.15)$$

另一个选择的可能性是 R_3 和 R_4 的位置互换, 但由于杨-Mills 场的正则性要求而被排除了. 从初始点 $\tau = 0$ 到一个非常接近于 $\tau = 0$ 的点 (μ, ϕ) 的任何路径的欧氏作用量

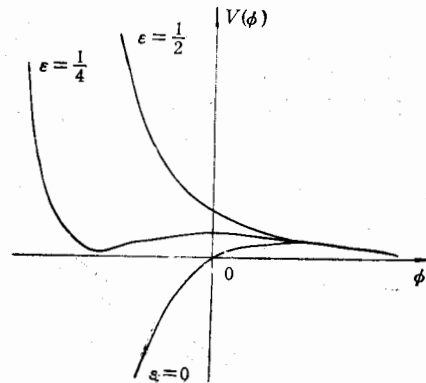


图 1 ε 取不同值时的 $V(\phi)$

可以容易地积分得到

$$\tilde{I} = -\frac{1}{2} e^{2\mu} + \frac{1}{8} m^2 e^{4\mu} V(\phi). \quad (2.16)$$

在适当选择测度后,在 $\mu = -\infty$ 附近, (2.13) 式蕴含 $\Psi = e^{-\tilde{I}}$. 对于度规 $ds^2 = d\mu^2 - d\phi^2$ 的过去零无限曲面 J^- , 对应于曲面 $\mu^2 = \phi^2$, 这是一个可作为确定边界条件的合适的曲面. 由此可以看出, Hartle-Hawking 假设可以用来建立一系列的 WDW 方程的初值问题. 因此, 在原则上总可以得到 WDW 方程的数值解. 然而, 我们在本文中的主要兴趣是考虑渐近解析解, 为此可选择在 $\mu = -\infty$ 附近波函数为

$$\Psi \approx \exp \left[+\frac{1}{2} e^{2\mu} - \frac{1}{8} m^2 e^{4\mu} V(\phi) \right], \quad (2.17)$$

并考虑在 J^- 的不同区域上 $\Psi \rightarrow 0$ 还是 1.

我们首先关心的是: 如何决定波函数在哪些区域振荡, 在哪些区域指数下降? 事实上,

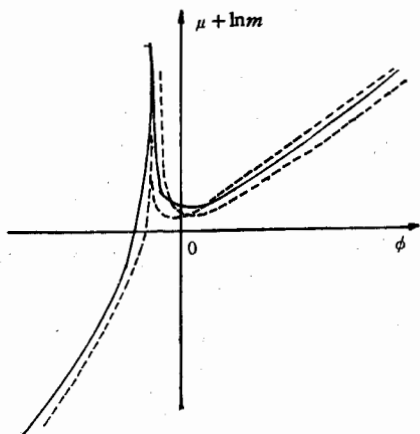


图 2 实线表示 $U=0$ 的曲面, 虚线表示曲面由类时到类空或类空到类时的转变. 在 $U < 0$ 的大部分区域中 $U = \text{常数}$ 的曲面是类空的; 在 $U > 0, \phi < 0$ 的区域中, 曲面是类时的; 在 $U > 0, \phi > 0$ 的大部分区域中, 曲面是类空的.

上, 如果常数曲面 U 是类空的, $U > 0$ 对应 Ψ 是指数型的, $U < 0$ 对应 Ψ 是振荡的; 如果常数曲面是类时的, $U > 0$ 对应 Ψ 是振荡的, $U < 0$ 对应 Ψ 是指数的. U 是正或负的区域是由曲面 $U=0$ 来分开的, 而该区域 Ψ 究竟是指数型还是振荡型是通过曲面 $d\mu/d\phi = \pm 1$ 来区分的, 因为这些曲面把 $U = \text{常数}$ 的曲面分成类空和类时两部分. 上述这些区域都显示在图 2 之中. 在图 2 中, 我们看到, 当 ϕ 小于 $V(\phi)$ 的极小值点 ϕ_{\min} 时, $U=0$ 与 $d\mu/d\phi = -1$ 的曲面几乎重合. 在这两个曲面之间有一个狭小的区域, 其中 $U < 0$, 且是类时的, 因而 ϕ 具有振荡解. 而在几乎整个 $\phi < \phi_{\min}$ 区域, Ψ 是指数下降的, 这一区域代表着宇宙的初始阶段, Ψ 的性质说明 $V(\phi)$ 对于宇宙半径 $R, \propto e^\mu$ 是个量子力学意义上的势垒.

上面我们讨论了波函数的一般行为, 下面我们讨论在 $V(\phi)$ 极大值附近 Ψ 的渐近解. 在 $U > 0, \phi$ 靠近 ϕ_{\max} , 我们有

$$\Psi \approx A \exp \left[\frac{1}{3m^2 V(\phi)} \right] \exp \left[\frac{-1}{3m^2 V(\phi)} [1 - e^{2\mu} m^2 V(\phi)]^{\frac{1}{2}} \right]. \quad (2.18)$$

当 $e^\mu \rightarrow 0$ 时, $A \rightarrow 1$ 满足边界条件 (2.17).

在 $U < 0$ 的区域, 利用 WKB 近似方法, Ψ 取如下形式

$$\Psi \approx B \exp \left[\frac{1}{3m^2 V(\phi)} \right] \cos \left[\frac{1}{3m^2 V(\phi)} [e^{2\mu} m^2 V(\phi) - 1]^{\frac{1}{2}} - \frac{\pi}{4} \right]. \quad (2.19)$$

因子 B 可以将波函数 Ψ 代入 WDW 方程来决定, 在 $\phi \approx \phi_{\max}$ 时, 有

$$B \approx e^{-\mu} [e^{2\mu} m^2 V(\phi) - 1]^{-\frac{1}{4}}. \quad (2.20)$$

三、波函数的物理解释

波函数有一个指数型的区域, 在经典近似下对应于一个欧氏 8 维几何. 即它限制了标度因子从为零的区域作经典发展. 波函数在 $\phi = \phi_{\max}$ 附近有一个振荡区域, 这可以解释作为标度因子 R_3 在初始 inflation 时间经典解的迭加.

下面我们对振荡型波函数作进一步的讨论. 振荡区域的波函数可以用 WKB 近似作解释,

$$\Psi = \text{Re}(ce^{is}), \quad (3.1)$$

其中 s 是一个急变相因子, 而 c 则是一个缓变系数. s 满足对应于 WDW 方程的 Hamilton-Jacobi 方程:

$$\left(\frac{\partial s}{\partial \mu}\right)^2 + \left(\frac{\partial s}{\partial \phi}\right)^2 + U(\mu, \phi) = 0. \quad (3.2)$$

考虑开始于曲面 $U = 0$ 的类空部分的经典轨道, 即在 ϕ 接近于 $\phi_{\max} = 0$ 的区域. 在 ϕ_{\max} 附近展开 $V(\phi)$, 我们能得到该区域 Hamilton-Jacobi 方程的渐近解:

$$s \simeq -\frac{m}{6} e^{3\mu} \left[1 - \frac{1}{4} (e^{-\phi} - 1)^2\right]. \quad (3.3)$$

其中 $e^{-\sqrt{2}\phi}$ 在 $\phi = \phi_{\max}$ 等于 1, s 的形式与 (2.19) 式是一致的. 波函数 (3.1) 可以看作是满足下述两个一阶方程的经典轨道的迭加:

$$\pi_\mu = \frac{\partial s}{\partial \mu}, \quad \pi_\phi = \frac{\partial s}{\partial \phi}. \quad (3.4)$$

从 (3.2)–(3.4) 式, 可得

$$\dot{\mu} = \frac{m}{2} \left[1 - \frac{3}{4} (e^{-\sqrt{2}\phi} - 1)^2\right], \quad (3.5a)$$

$$\dot{\phi} = -\frac{\sqrt{2}}{4} m [e^{-\sqrt{2}\phi} - 1] e^{-\sqrt{2}\phi}. \quad (3.5b)$$

如果 ϕ 的初值 ϕ_0 充分接近 ϕ_{\max} , 那么 $\dot{\phi}$ 的初始值非常小, $\dot{\mu}$ 的初始值约为 $\frac{m}{2}$. 从而

$R_3(t) \propto \exp\left(\frac{m}{2}t\right)$, 即标度因子具有指数膨胀的形式.

如果 $\phi_0 > \phi_{\max}$, 则据 (3.5) 式, $\dot{\phi} > 0$, 那么 ϕ 将滑向势的右边, 变得很大. 对于大的 ϕ , R_3 和 R_4 都将以指数形式膨胀. 所以 $\phi_0 > \phi_{\max}$ 不是物理的初值.

如果 $\phi_0 < \phi_{\max}$, 则 $\dot{\phi} < 0$, 那么 ϕ 将滑向势的左边. 在时间 $t_1 = \frac{-1}{m} \ln(\phi_{\max} - \phi_0)$ 级以后, (3.5a) 式中的第二项将变得与第一项同量级, 因此 inflation 过程就会结束. 如果要求 $(\phi_{\max} - \phi_0) < e^{-60}$, 则足够大的 inflation 就能解决平坦性等诸问题.

ϕ 最后下降到极小值 ϕ_{\min} 附近, 对于充分小的 $\phi - \phi_{\min}$, $V(\phi) \approx \frac{1}{2}(\phi - \phi_{\min})^2$, 于是 $(\phi - \phi_{\min})$ 的行为类似质量为 m 的有质量标量场, 而 e^μ 的行为以 $t^{\frac{1}{2}}$ 膨胀.^[14]

四、讨论

我们已利用 Hartle-Hawking 边界条件计算了 8 维 Einstein-杨-Mills 理论中的超微空间波函数。波函数的指数下降区域, 对应着经典禁戒区域。波函数的振荡区域则对应着经典洛伦兹型解的一个迭加, 其中宇宙标度因子 R_3 在初始阶段经历了一个 inflation 过程, 而 R_4 仍然保持着小的尺度。

但是, 在我们的模型中, 存在着一个不足的地方。因为一个真实的 inflation 模型必须存在一个足够大的 $V(\phi)$ 平坦区域, 使得量子涨落对于 ϕ 穿越该区域的影响可以忽略。我们的模型并不满足这一条件, 引入 dilaton 场可能会解决这个问题, 我们将在另文中研究含有 dilaton 场的量子宇宙的 inflation 波函数。

参 考 文 献

- [1] Li Xinzhou, *Phys. Lett.*, **220B**(1989), 509.
- [2] Li Xinzhou, et al., *Phys. Lett.*, **201B**(1988), 34.
- [3] Li Xinzhou, et al., *Gen. Rel. Grav.*, **20**(1988), 1087.
- [4] S. Randjbar-Daemi, A. Salam and J. Strathdee, *Phys. Lett.*, **124B**(1983), 345.
- [5] P. H. Frampton and K. Yamamoto, *Phys. Rev. Lett.*, **52**(1984), 2016.
- [6] 刘棋, 李新洲, 徐建军, 高能物理与核物理, **13**(1989), 985.
- [7] H. Georgi, *Nucl. Phys.*, **B156**(1979), 126.
- [8] J. B. Hartle and S. W. Hawking, *Phys. Rev.*, **D28**(1983), 2960.
- [9] B. S. DeWitt, *Phys. Rev.*, **160**(1967), 1113; C. W. Misner, *Phys. Rev.*, **186**(1969), 1319.
- [10] Z. C. Wu, *Phys. Lett.*, **146B**(1984), 307.
- [11] J. J. Halliwell, *Nucl. Phys.*, **B266**(1986), 228; **B286**(1987), 729.
- [12] Zhong Yu and Li Xinzhou, *Phys. Rev.*, **D42**(1990), 712.
- [13] S. W. Hawking and D. N. Page, *Nucl. Phys.*, **B264**(1985), 185.
- [14] M. S. Turner, *Phys. Rev.*, **D28**(1983), 1243.

The Quantum Cosmology of Einstein-Yang-Mills Theory, in Eight-Dimensions

SU BING LI XINZHOU

(East China Institute for Theoretical Physics, Box 532, 130 Mei Long Road, Shanghai 200237)

ABSTRACT

In this paper, the quantum cosmology of Einstein-Yang-Mills has been studied. The Hartle-Hawking proposal for the boundary conditions of the Universe is extended to Eight-dimensional Einstein-Yang-Mills theory. A minisuperspace wave function is calculated in the classical limit corresponding to a superposition of classical solutions in which four of the dimensions remain small while the other four behave like an inflationary Universe.